

بررسی مراحل تکوینی سلول‌های پایی کلاله تاتوره (*Datura stramonium L.*)

حسن قاسم‌پور^۱، محبوبه علی اصغرپور^۲، علی موافقی^۳، محمدرضا دادپور^۳

۱- دانشجوی دکتری گروه زیست‌شناسی، دانشگاه پیام نور مرکز زنجان، h.ghasempour@gmail.com

۲- استادیار گروه علوم گیاهی، دانشکده علوم طبیعی، دانشگاه تبریز.

۳- استادیار گروه علوم گیاهی، دانشکده کشاورزی، دانشگاه تبریز.

تاریخ دریافت: ۸۷/۶/۴ تاریخ پذیرش: ۸۷/۱۱/۱۲

چکیده

تاتوره (*Datura stramonium L.*) گیاه سمی و دارویی از تیره سولاناسه با گل‌های سفید، جام گل شیپوری، پنج پرچم، دو برچه متصل و کلاله‌ای از نوع مرطوب و پایی دار می‌باشد. هدف از این پژوهش بررسی مراحل تکوینی سلول‌های پایی و مشاهده آن توسط میکروسکوپ‌های نوری و فلورسانس است. پس از جمع‌آوری گل‌های گیاه در اندازه‌های متفاوت و جدا نمودن غنچه‌های ۵-۷۵ میلی متری، جهت بررسی بافت‌شناسی پس از مراحل بلوک‌گیری و برش‌گیری توسط اولترا میکروتوم، برش‌های نیمه نازک با تولوئیدین بلو برای میکروسکوپ نوری و اورامین O برای مشاهده با میکروسکوپ فلورسانس در طول موج‌های ۳۸۰-۴۹۰ نانومتر، رنگ آمیزی شدند. بررسی‌های میکروسکوپی مشخص نمود، سلول‌های پایی تک سلولی، منشا گرفته از اپی درم بوده و در طی نمو سطح کلاله را پوشانده و در نهایت لیز و از کلاله جدا می‌شوند. در طی مراحل نمو، پایی‌ها و سلول‌های بافت‌های زیرین آن‌ها فعالیت ترشحی داشتند. ترشح ترکیبات لیپیدی این سلول‌ها در غنچه‌های ۲۵-۲۰ میلی متری آغاز و با پیشرفت نمو میزان تراکم ترشحات افزایش می‌یابد به طوری که در کلاله‌ی بالغ غنچه‌های ۶۰-۴۵ میلی متری با الحاق قطرات لیپیدی، اجسام لیپیدی در زیر لایه کوتیکول و در سطح کلاله به وجود می‌آورند. این روند باعث پیدایش گسستگی‌هایی در کوتیکول گردیده و منجر به جدا شدن و فاصله گرفتن آن از دیواره سلولی می‌گردد. بر اساس این مشاهدات ترشحات لیپیدی از طریق این شکستگی‌ها به سطح کلاله رسیده و وجود این گسستگی‌ها عبور ترشحات لیپیدی که از طریق کوتیکول نازک صورت می‌گیرد را تسهیل می‌نماید.

کلید واژه: تکوین پایی، تاتوره، اولترا میکروتوم، قطرات لیپیدی.

مقدمه

نوع ترشحات، مقدار آب، قند، پروتئین، لیپید، آنزیم، آمینواسید، کلسیم، آرایینوزگالاکتان، فنل و ترکیبات هتروژن حاصل مخلوط این مواد مورد توجه قرار گرفته است (۳). بر اساس حضور یا فقدان سلول‌های کرک مانند پایی (Papillae) که در سطح کلاله برخی از گیاهان به صورت منفرد یا مرکب قرار گرفته، گیاهان به

کلاله بخشی از مادگی است که دانه کرده در زمان کرده افشانی روی آن قرار گرفته و در گونه‌های مختلف شکل کلاله‌های بالغ متفاوت است (۱). کلاله‌ها در حضور یا فقدان ترشحات در سطح کلاله بالغ به دو دسته مرطوب یا خشک تقسیم بندی می‌شوند (۲). طبقه‌بندی دیگر و کامل‌تری نیز با در نظر گرفتن جزئیات از جمله

اخیر بررسی‌های ساختاری و فراساختاری کلاله در تیره سیب زمینی به طور گسترده‌ای در گونه‌های اطلسی (۲۰)، گوجه فرنگی (۲۱)، توتون (۸) و سیب زمینی تجارتي (۲) مورد بررسی قرار گرفته است. کلاله تاتوره برای اولین بار در سال ۱۹۴۴ در سطح میکروسکوپ نوری توسط ساتینا (Satina) مورد مطالعه قرار گرفته است. حسینی در سال ۱۳۸۴ کلاله آن را در سطح میکروسکوپ نوری و میکروسکوپ الکترونی نگاره (S.E.M) بررسی کرده است. صومعه در سال ۱۳۸۶ ترشحات کلاله گل را از نظر هیستوشیمیایی، بیوشیمیایی و مداح در سال ۱۳۸۶ بافت ترشحي کلاله گل را در سطح فراساختاری، مورد بررسی قرار داده‌اند (۲۲). کار پژوهشی حاضر در ادامه بررسی‌های قبلی و در جهت تکمیل نتایج به دست آمده از پژوهش‌های پیشین انجام گردیده و یکی از اهداف آن کسب دانش کافی در زمینه ساختار کلاله است، این اطلاعات قطعاً در زمینه‌های تولید مثل و تکثیر این گونه مثر ثمر خواهد بود.

مواد و روش‌ها

جمع آوری نمونه‌ها

جمع آوری گل‌های تاتوره در تاریخ ۸۱/۹/۱ و ۸۲/۴/۱ از پایه‌های رشد یافته در منطقه چای کنار تبریز انجام گردید. غنچه‌های جدا شده برحسب اندازه و طول به ۱۵ گروه تقسیم بندی شدند (جدول ۱).

گروه‌های فرعی تری نیز طبقه‌بندی می‌گردند (۸، ۷، ۶، ۵، ۴ و ۱). مشاهده کلاله در سطح استرئومیکروسکوپ نشان دهنده ساختمان دولبی و متقارن و پوشیده از کرک‌های کوچک (پاپی) می‌باشد. پاپی‌ها، سلول‌های برجسته‌ای در سطح کلاله هستند که با تکوین کلاله، کشیده‌تر شده و از سلول‌های مجاور خود جدا می‌گردند. این سلول‌ها انتهای مدوری داشته و تنها در قسمت قاعده‌ای با سلول‌های زیرین و سلول‌های مجاور متصل می‌باشند. اگر چه سطح کلاله یک گل، پناهگاه تیپ‌های مختلفی از دانه‌های گرده می‌باشد، ولی مکانیزم‌های فیزیولوژیکی وجود دارند که موجب می‌گردد تنها دانه گرده درون گونه‌ای (Intraspecific) قابلیت جوانه زدن پیدا کرده و لوله گرده را بر روی کلاله به وجود آورد (۱۲، ۱۱، ۱۰ و ۹). مکانیسم شناسایی دانه‌ی گرده‌ی سازگار توسط سلول‌های پاپی از طریق واکنش‌های مولکولی بین مواد دیواره دانه گرده و روپوستک (Pellicle) و یا واکنش با ترشحات کلاله‌ای انجام می‌شود. این میان کنش‌ها از زمان آب‌گیری دانه گرده آغاز می‌شود (۱۵، ۱۴ و ۱۳).

سطح سلول‌های کلاله در مراحل اولیه توسعه، با یک لایه کوتیکول پوشیده می‌شود. در برخی از گیاهان نهاندانه‌ی دولپه‌ای و تک‌لپه‌ای تیپ خشک بر روی این لایه کوتیکول، یک پوشش خارجی که توسط سلول‌ها ترشح می‌شوند، قرار می‌گیرد که به روپوستک معروف است و ضخامتی در حدود ۱۵ الی ۲۰ نانومتر دارد. در تک‌لپه‌ای‌هایی نظیر زعفران و گلایول ترشح روپوستک زمانی صورت می‌گیرد که کلاله برای پذیرش دانه گرده آماده باشد (۱۶). جزییات ساختمانی روپوستک هنوز به طور کامل مشخص نشده است. روپوستک در به دام انداختن، آب‌گیری دانه گرده و در شناسایی دانه گرده در طول واکنش‌های متقابل بین کلاله و دانه گرده نقش عمده‌ای را بر عهده دارد (۱۹، ۱۸ و ۱۷). در سال‌های

جدول ۱- طبقه بندی کلاله تاتوره بر حسب اندازه و طول غنچه

مراحل	مرحله ریخت شناسی	طول غنچه	گروه
هیستوژنز	کاسبرگ‌های چسبیده به هم (غنچه‌های بسته)	۵	۱
		۱۰	۲
		۱۵	۳
رشد و نمو	جدا شدن انتهای کاسبرگ غنچه‌ها	۲۰	۴
		۲۵	۵
		۳۰	۶
	وجود گلبرگ‌های سبز رنگ در پوشش کاسبرگ	۳۵	۷
بلوغ و گرده افشانی	خارج شدن گلبرگ سبز از کاسبرگ ظاهر شدن گلبرگ‌های سبز مایل به زرد تغییر رنگ گلبرگ‌ها به رنگ زرد بزرگ شدن گلبرگ‌های زرد رنگ	۴۵	۹
		۵۰	۱۰
		۵۵	۱۱
		۶۰	۱۲
بعد از گرده افشانی	شکفته شدن گل (تغییر رنگ گلبرگ به سفید) شکفته شدن گل به طور کامل مراحل از بین رفتن گل	۶۵	۱۳
		۷۰	۱۴
		۷۵	۱۵

اغلب ترکیبات سلولی با استفاده از فلئوکروم‌ها به حالت درخشان درآمده و تحت تأثیر پرتوهای فرابنفش، فلئورسانس ثانویه ایجاد می‌نمایند. اورامین O فلئوکرومی است که ترکیبات کوتینی را به رنگ زرد درخشان درمی‌آورد. در این پژوهش برای بررسی ترکیب سطح سلول‌های کلاله گیاه تاتوره از اورامین O ۰/۰۱٪ در بافر فسفات ۰/۰۵ مولار با pH=۷/۵ به مدت ۵ دقیقه استفاده شده و با استفاده از میکروسکوپ دیجیتال فلورسنت لایه کوتیکول سلول‌های پایی سطح کلاله در مراحل مختلف مورد بررسی قرار گرفت (۲۷)، ۶ و ۸).

مراحل آماده سازی نمونه‌ها جهت تهیه برش‌های نیمه نازک و مشاهده توسط میکروسکوپ نوری و فلوروسانس

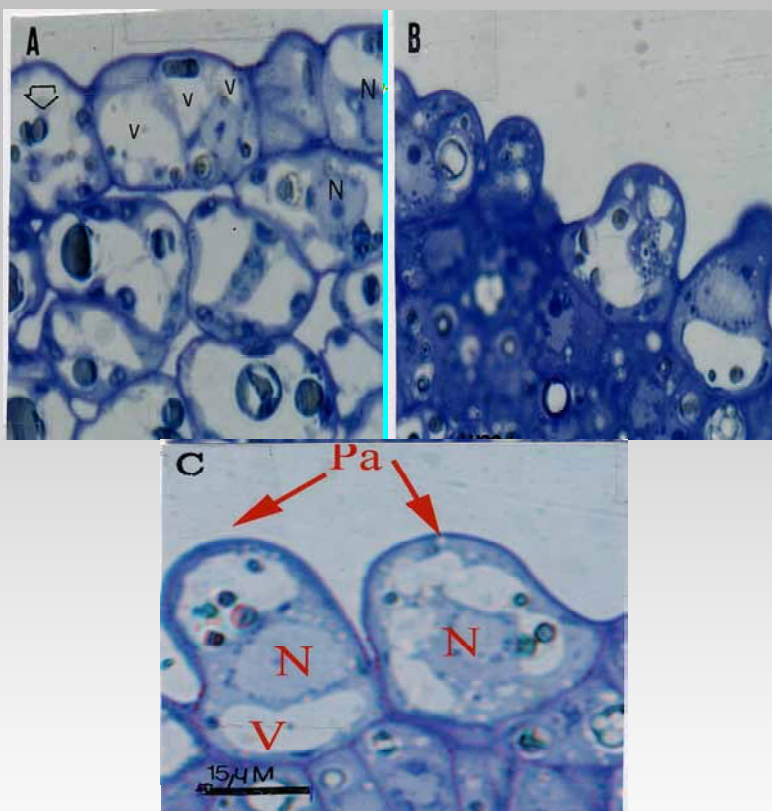
از نمونه‌های ۰/۵ میلی متری بر اساس روش‌های استاندارد آماده سازی (مراحل تثبیت‌های اولیه و ثانویه، آب گیری، شفاف سازی، آغشته سازی با رزین، قالب گیری، پلی مریزاسیون) برش‌های نیم‌نازک (Semithin) با اولترامیکروتوم به ضخامت ۱ تا ۲ میکرومتر تهیه شده و با معرف‌های مختلف رنگی از جمله تولوئیدین بلو ۲٪ (رنگ آمیزی دیواره‌های سلولی هسته و ذرات لیپیدی داخل واکوئل و سیتوپلاسم)، نیل بلوسولفات ۱٪ محلول در اسید استیک (لیپیدهای خنثی در این رنگ آمیزی به رنگ قرمز و لیپیدهای اسیدی به رنگ آبی) جهت مشاهده با میکروسکوپ نوری رنگ آمیزی شدند (۲۶، ۲۵، ۲۴، ۲۳، ۲۲، ۸، ۵ و ۲).

نتایج

سلول‌های پایی تاتوره در مرحله هیستوژنز کلاله (غنچه‌های ۱۵-۵ میلی متری)

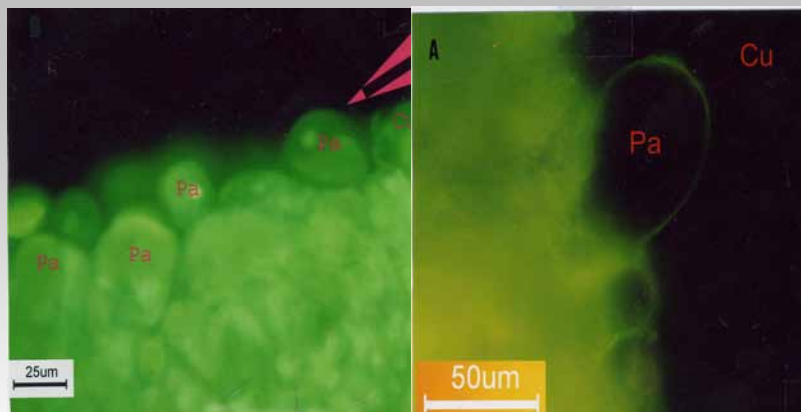
برش‌های نیم نازک در اولین مراحل شکل‌گیری کلاله (غنچه‌های ۵ میلی متری) تشکیل زودرس پایی‌ها را نشان می‌دهند، اگر چه در این مرحله سلول‌های پایی برجسته و کشیده نیستند، ولی با دارا بودن برخی ویژگی‌های سیتولوژیکی کاملاً از سلول‌های زیرین قابل تشخیص می‌باشند (شکل ۱A). از اواسط مرحله هیستوژنز دیواره خارجی سلول‌های پایی در سطح کلاله به تدریج برآمده شده و به سلول‌های کم و بیش مدوری تبدیل می‌شوند (اشکال ۱B و ۲B). پایی‌ها در

اواخر این مرحله به صورت سلول‌هایی نسبتاً کشیده با سطح کوتیکولی هستند که از سلول‌های پایی درمی‌کاملاً متمایز شده‌اند (اشکال ۱C و ۲A). پایی و لایه کوتیکول سطح این سلول‌ها در میکروسکوپ فلورسنت با پدیده اتوفلوئورسانس قابل مشاهده است (شکل ۲A). در سیتوپلاسم پایی‌ها، تعدادی واکوئل کوچک وجود دارد که به تدریج بر اندازه آن‌ها افزوده شده و در هم ادغام می‌شوند. رنگ آمیزی پایی‌ها در این مرحله از رشد با آبی تولوئیدین نشان دهنده وجود تعدادی قطرات سبز مایل به آبی در درون واکوئل‌هاست که احتمالاً ماهیت پروتئوبلی‌فولی دارند (اشکال ۲B و ۱C).



شکل ۱- برش‌های نیم نازک کلاله تاتوره در مرحله هیستوژنز (غنچه‌های ۱۵-۵ میلی متری) با رنگ آمیزی تولوئیدین بلو ۲٪

(A) سلول‌های پایی درمی و زیر پایی درمی: هسته بزرگ و هستک درون آن مشخص است و واکوئل‌های کوچک و اجزاء گرد داخل آن وجود دارد (B) سلول‌های پایی در این مرحله برجسته و کشیده هستند با دارا بودن دیواره سلولی نازک، سیتوپلاسم متراکم، هسته بزرگ و واکوئل‌های کوچک متعدد از سلول‌های زیرین قابل تمیز هستند (C) دو سلول پایی در غنچه‌های ۱۵ میلی متری: پایی‌ها از نظر طولی کشیده، هسته بزرگ و حداقل یک هستک درون آن قابل مشاهده و واکوئل‌های کوچک و قطراتی به رنگ آبی در داخل آن وجود دارد. هسته=N، واکوئل=V، سلول پایی=Pa



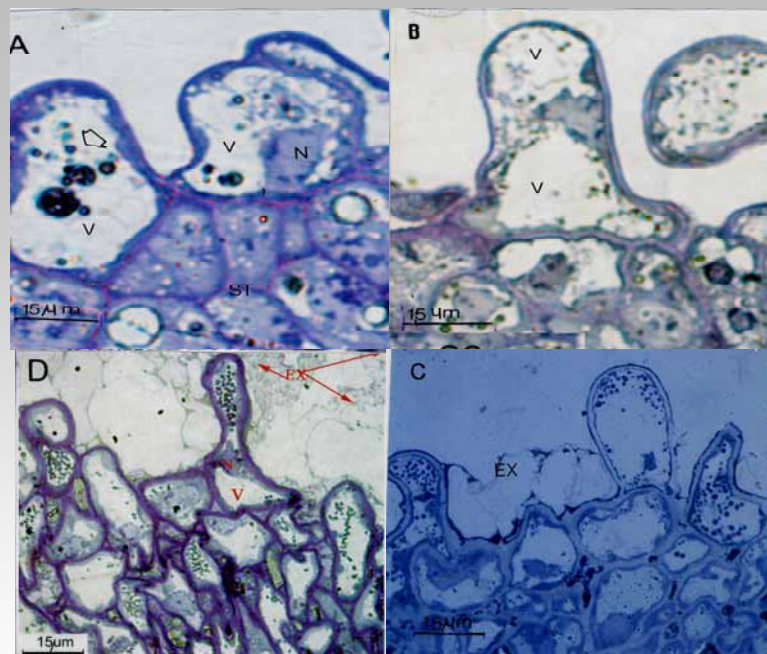
شکل ۲- فلوروسانس سلول‌های پای در مرحله هیستوتونژ (غنچه‌های ۱۵-۵ میلی متری)

(A) لایه کوتیکول پای در غنچه‌های ۱۵ میلی متری در زیر میکروسکوپ فلوروسانس با نور آبی (۴۹۰-۴۵۰) به صورت اتو فلوروسانس قابل مشاهده است. (B) لایه کوتیکول پای در غنچه‌های ۱۰ میلی متری که با فلونوروکروم اورامین O در زیر میکروسکوپ فلوروسانس نور آبی (۴۹۰-۴۵۰) به صورت فلوروسانس قابل مشاهده است. کوتیکول=Cu پای=Pa

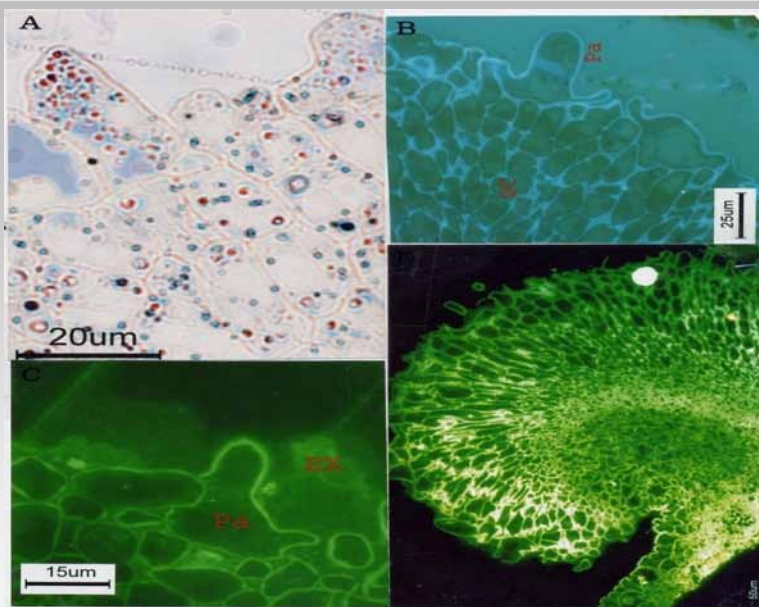
مرکزی درشت، سیتوپلاسم تقلیل یافته به صورت نواری در بین واکوئل و دیواره سلولی می‌باشند (اشکال B۳ و C۳). در این مرحله فعالیت ترشحاتی بافت کلالة آغاز شده و مواد ترشحاتی در فضای بین سلولی سلول‌های ترشحاتی تجمع یافته و به طرف سطح کلالة جریان می‌یابد (اشکال B۴ و C۴). ذرات لیپیدی در داخل سلول با رنگ

پای‌های تاتوره در مرحله رشد و نمو کلالة (غنچه‌های ۴۰-۲۰ میلی متری)

پای‌ها در این مرحله از سلول‌های تحتانی کاملاً قابل تشخیص بوده و در قسمت رأسی کشیده و در قسمت قاعده پهن و حجیم هستند (اشکال D۵، B۵، A۴ و D۳). افزایش طولی پای‌ها باعث شده آن‌ها را از سلول‌های پای درمی تشخیص داد. سلول‌ها دارای یک واکوئل



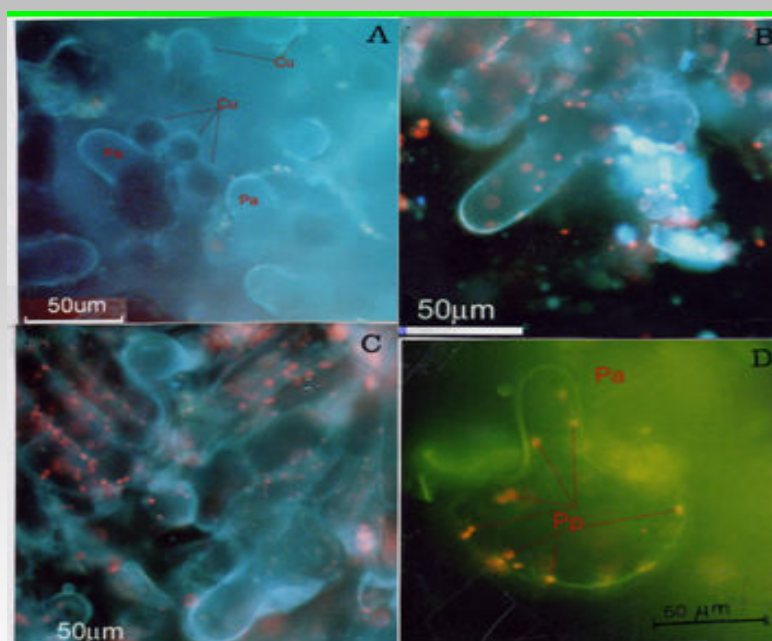
شکل ۳- سلول‌های پای و سلول‌های ترشحاتی زیرین کلالة تاتوره در مرحله رشد و نمو (غنچه‌های ۴۰-۲۰ میلی متری) با رنگ آمیزی تولوئیدین بلو ۲٪ (A). پای کلالة در غنچه‌های ۲۰ میلی متری. (B) افزایش پای کلالة در غنچه‌های ۲۵ میلی متری. (C) سلول پای در غنچه‌های ۳۰ میلی متری. (D) یک سلول پای در غنچه‌های ۴۰ میلی متری.



شکل ۴-پایه‌ها و سلول‌های زیرین آن در کلالة تاتوره، در مرحله رشد و نمو کلالة (غنچه‌های ۲۰-۴۰ میلی متری). (A) برش‌های نیم نازک کلالة در غنچه‌های ۲۵ میلی متری. (B) برش‌های نیم نازک کلالة در غنچه‌های ۳۰ میلی متری. (C) فتوگراف برش نیم نازک در غنچه‌های ۳۵ میلی متری. (D) فتوگراف برش نیم نازک در غنچه‌های ۴۰ میلی متری.

(۴D). مشاهده پایه‌ها در زیر میکروسکوپ فلوروسنت نشان دهنده اتوفلوروسانس لایه کوتیکول (شکل ۵A) بوده و قطراتی در داخل سلول‌ها به رنگ قرمز تا صورتی قابل مشاهده است (شکل ۵D).

آمیزی نیل بلو سولفات قابل مشاهده است (شکل ۴A). حرکت این ترشحات به سطح کلالة و اتصال سست پایه‌ها به هم دیگر و به سلول‌های زیرین باعث جدا شدن بسیاری از پایه‌ها از سطح کلالة می‌شود (اشکال ۵D و

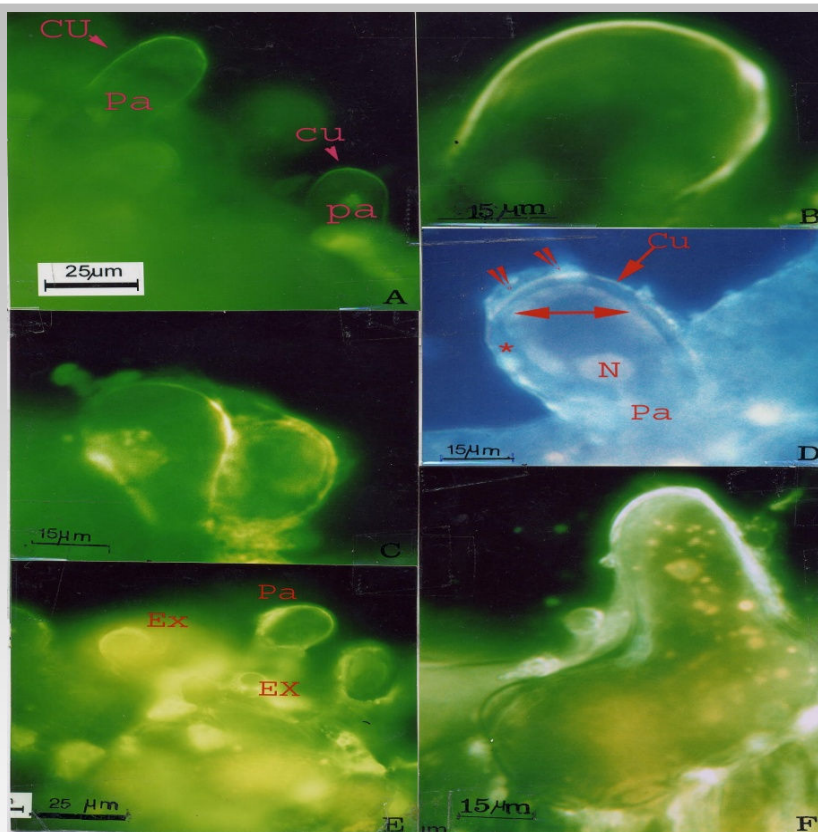


شکل ۵- اتوفلوروسانس سلول پایه کلالة تاتوره در مرحله رشد و نمو

(A) پایه کلالة در غنچه‌های ۲۰ میلی متری. (B) پایه کلالة در غنچه‌های ۳۰ میلی متری. (C) پایه کلالة در غنچه‌های ۳۵ میلی متری (D) اتوفلوروسانس قطرات پروتوپلی فنولی در یک سلول پایه کنده شده از سطح کلالة تاتوره در غنچه‌های ۴۰ میلی متری. کوتیکول = Cu، پایه = Pa، پروتوپلی فنولی = Pa=

آن به بیرون و حتی احتمال تراوش ترکیبات لیپیدی از لایه کوتیکول نیز است (شکل ۶D). مشاهدات نشان داده که در داخل سلول قطراتی وجود دارند که اتوفلوئورسانس قرمز در طول موج های ۴۵۰-۳۸۰ نانومتر از خود نشان می دهند. ماهیت آن ها قبلاً شناسایی شده است این قطرات با اورامین O فلوئورسانس زرد و زرد مایل به سفید نشان می دهند (شکل ۴A). فلوئورسانس ترکیبات ترشحاتی زیر کوتیکولی و بین سلولی یاخته های ترشحاتی با همان معرف و در همان طول موج، سفید تا آبی است (اشکال ۶E و ۶F) رنگ آمیزی این قطرات با نیل بلو سولفات وجود ترکیبات لیپیدی کمپلکس با قطرات پروتئولی فنولی را تأیید می نماید (شکل ۴A).

انجام مشاهدات دقیق تر با رنگ آمیزی اورامین O در طول موج های ۴۹۰-۴۵۰ نانومتر نشان داد که لایه کوتیکول به رنگ زرد طلائی تا سفید و قطرات ترشحاتی لیپیدی در برخی موارد مشخص (اشکال ۶B، ۶A و ۶D) و در بیش تر موارد لایه کوتیکول از ترکیبات ترشحاتی لیپیدی، غیر قابل تشخیص است (شکل ۶E) و انباشتگی و افزایش ترشحات لیپیدی زیر کوتیکولی را تنها با افزایش فلوئورسانس ایجاد شده، می توان تشخیص داد (شکل ۶F). تجمع زیر کوتیکولی این ترشحات باعث جدا شدن این لایه از سطح دیواره پایی شده (شکل ۶C) و به نظر می رسد که افزایش انباشتگی ترشحات باعث کشیدگی و از هم گسیختگی این لایه بسیار نازک در بعضی از قسمت ها و در نتیجه دفع ترشحات به دام افتاده در زیر



شکل ۶- فلوروسنت سلول های پایی تازه رنگ آمیزی شده با اورامین O

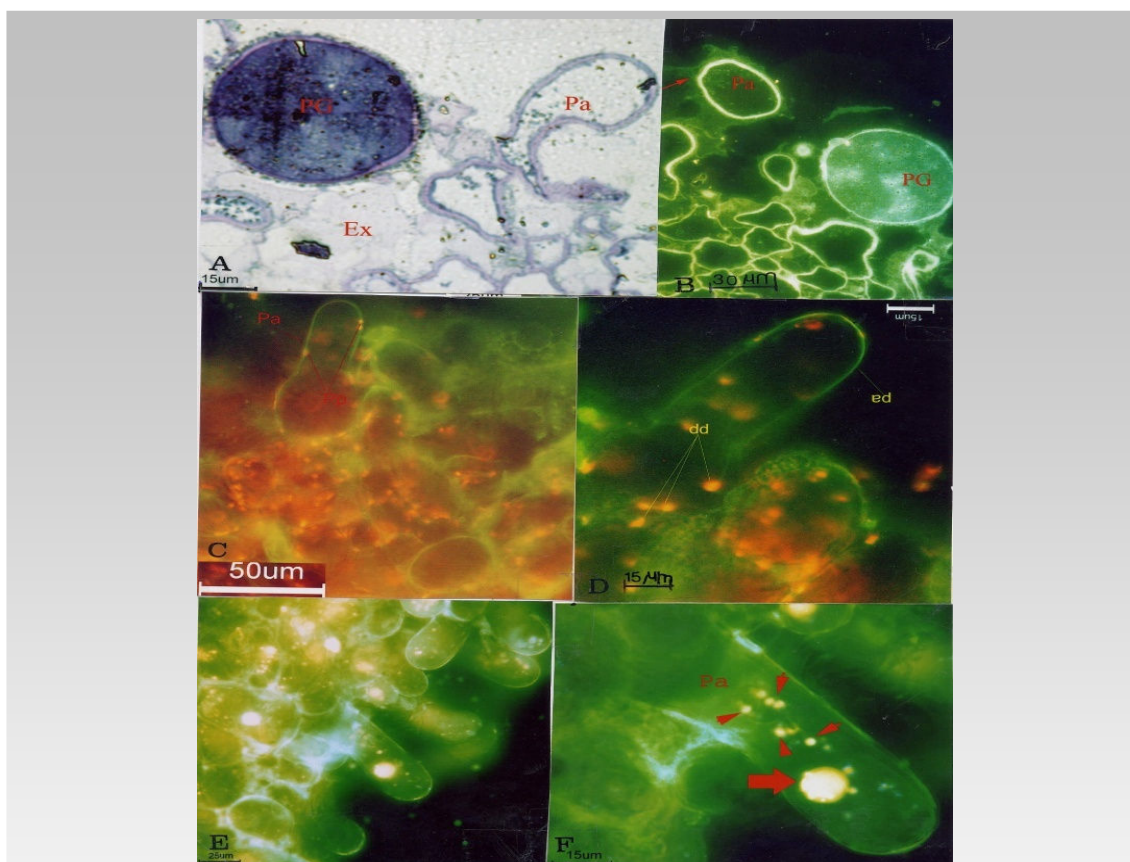
(A) لایه بسیار نازک کوتیکول پایی ها در غنچه های ۲۰ میلی متری. (B) تجمع نقطه مواد ترشحاتی در زیر لایه کوتیکول پایی در غنچه های ۳۰ میلی متری. (C) تجمع و انباشتگی لیپیدی در زیر لایه کوتیکول سلول های پایی تازه در غنچه های ۳۰ میلی متری. (D) سلول های پایی در غنچه های ۳۵ میلی متری. در این مرحله سلول ها کاملاً کشیده ترشحاتی شده و به صورت انگشت مانند است. (E) سلول های پایی در رأس کشیده و در قاعده پهن در غنچه های ۴۰ میلی متری. (F) ترشحات سلول های پایی با ماهیت قطرات زرد طلائی از نوع پروتئولی فنولی.

www.SID.ir
کوتیکول = Cu، قطرات = D، ترشحات = Ex، هسته = N، پایی = Pa

پوشانی داشته و به همین دلیل مشاهده این لایه و سلول‌های پایی در بیش‌تر موارد غیر ممکن است. با این وجود قطرات درون سلولی در اوایل این مرحله کم (شکل ۷C و ۷D) و افزایش این قطرات در مراحل پایانی (اشکال ۷D و ۷F) چشم‌گیر است. پای‌ها و سلول‌های ترش‌چی از سطح کلاله به دنبال جریان یافتن مواد ترش‌چی از سلول‌های پایی و ترش‌چی به سطح کلاله و رشد دانه‌های گرده، جدا شده و در ترشحات غوطه‌ور می‌شوند.

پای‌های تاتوره در مرحله بلوغ و گرده افشانی (غنچه‌های ۶۰-۴۵ میلی متری)

ترشحات لیپیدی آزاد شده در سطح کلاله، محیط مناسبی برای اتصال و رویش دانه‌های گرده است (اشکال ۷A و ۷B). تجمع ترشحات سطح کلاله و وجود تعداد زیادی دانه گرده بر روی آن، مشاهده پای‌ها را به صورت اتوفلوئورسانس و با فلئوئوروکروم اورامین O با مشکل مواجه می‌سازد (شکل ۷E). از طرف دیگر فلئوئورسانس مواد لیپیدی ترشحات با لایه کوتیکول، هم



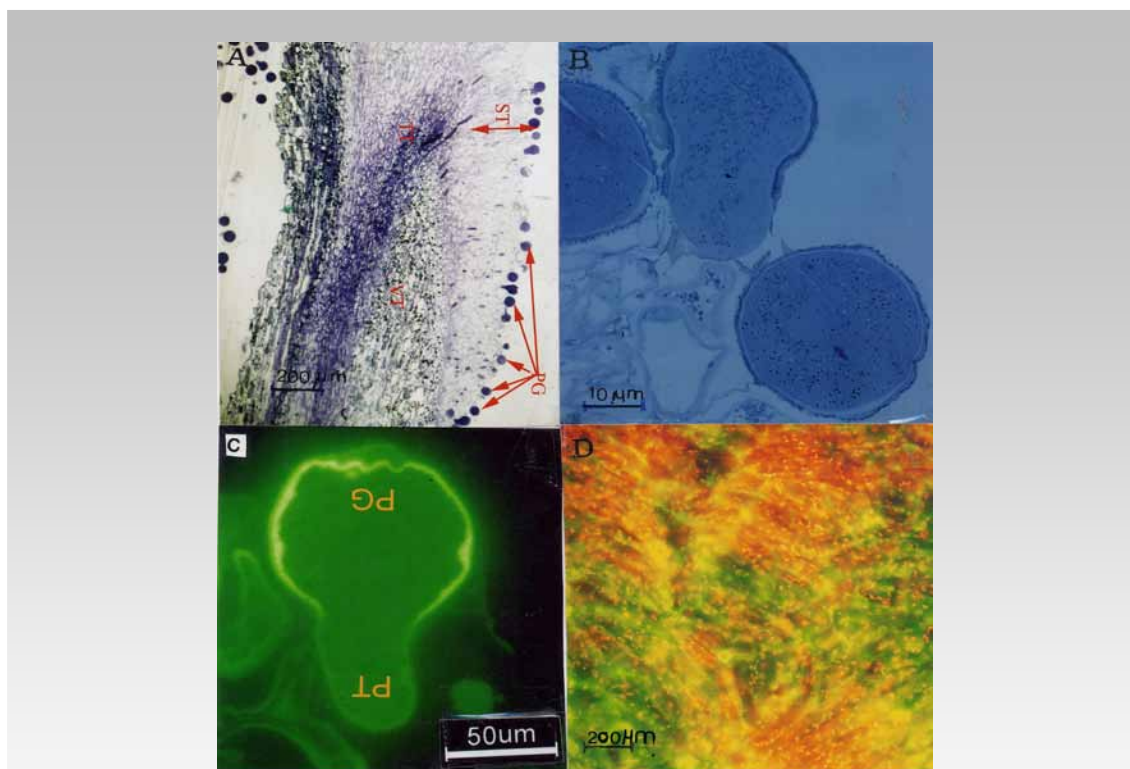
شکل ۷- پای تاتوره در مرحله بلوغ کلاله (غنچه‌های ۶۰-۴۵ میلی متری)

(A) برش نیم نازک کلاله در غنچه‌های ۵۰ میلی متری با رنگ آمیزی تولوئیدین بلو ۲٪، تجمع مواد ترش‌چی و حرکت آن‌ها به سطح کلاله باعث جدا شدن سلول‌های پایی و سلول‌های ترش‌چی سطح کلاله شده است. واکوئل بزرگ مرکزی بیشترین حجم سلول پای را اشغال کرده و در درون آن قطرات متعدد قابل مشاهده است. دانه گرده در ترشحات سطح کلاله گیر افتاده است.
(B) جدا شدن سلول‌های پایی و سلول‌های ترش‌چی در غنچه‌های ۵۵ میلی متری و قرار گرفتن آن‌ها در ترشحات سطح کلاله و به دام افتادن دانه گرده در این ترشحات ژله مانند. (C) یک سلول پای در غنچه‌های ۵۰ میلی متری که در رأس کشیده و در قاعده پهن (D) اتوفلوئورسانس رأس سلول پای و قطرات پروتوپلاستی فنولی سطح کلاله در غنچه‌های ۵۰ میلی متری. (E) پای سطح کلاله و غنچه‌های ۶۰ میلی متری رنگ آمیزی شده با اورامین O (F). ترشحات سلول‌های پای با ماهیت قطرات زرد طلائی از نوع پروتوپلاستی فنولی.

نفوذ لوله‌های گرده رشد یافته به داخل بافت ترش‌چی در بسیاری از برش‌های نیم نازک را می‌توان مشاهده کرد. پای‌ها و سلول‌های ترش‌چی در این مرحله استحکام دیواره خود را کاملاً از دست داده و به اشکال نامنظم و به صورت مچاله شده (شکل ۸C و ۸B) در مقاطع میکروسکوپی و در نمونه‌های تازه درون سلولی پای‌ها و سلول‌های ترش‌چی آزاد شده‌اند. این ترکیبات قطعاً در رشد لوله گرده بعد از مرحله گرده افشانی نقش اساسی دارند.

پای‌های کلاله تاتوره در مرحله بعد از گرده افشانی (بزرگ تر از ۶۰ میلی متر و گل‌های شکفته)

بررسی برش‌های نیم نازک این مرحله با رنگ آمیزی تولوئیدین بلو نشان دهنده مراحل پایانی حیات بسیاری از پای‌ها و سلول‌های ترش‌چی سطح کلاله است (اشکال ۸A و ۸B). بافت کلاله در این مرحله به شدت نرم بوده و سلول‌های پای‌ها در هم پاشیده به همراه ترکیبات ترش‌چی، سطح کلاله را پوشش می‌دهند (اشکال ۸B و ۸D). رویش دانه گرده در سطح کلاله و



شکل ۸- سطح کلاله در مرحله بعد از گرده افشانی (غنچه‌های بزرگ تر از ۶۰ میلی متر)

A) مراحل مختلف رشد دانه گرده بر روی سطح کلاله در غنچه‌های ۷۰ میلی متری: سلول پای‌ها و بسیاری از سلول‌های زیرین آن شکل طبیعی خود را از دست داده‌اند. B) دانه گرده در میان سلول‌های پای‌ها و ترش‌چی در حال از هم پاشیدن، برش نیم نازک کلاله غنچه‌های ۷۵ میلی متری. C) دانه گرده در حال رویش که در داخل ترشحات سطح کلاله در غنچه‌های ۷۵ میلی متری به دام افتاده است. D) اتو فلوروسانس قطرات پروتئولی فنولی نمونه‌های تازه کلاله در غنچه‌های ۷۰ میلی متری. دانه گرده = PG لوله گرده = PT

بحث

با رشد و تمایز کلاله این سلول‌ها، واکوئلیزه شده و از سلول‌های اپی درمی متمایز می‌شوند. در طول تکوین کلاله، این سلول‌ها کشیده و کشیده‌تر شده و در نهایت

بر اساس مشاهدات حاصل از میکروسکوپ نوری پای‌های کلاله تاتوره در مراحل اولیه تشکیل، از سلول‌های اپی درمی قابل تشخیص نمی‌باشند، ولی همراه

با تشکیل کلاله گیاهان *Lycopersicum pervianum* (۲۱) و کلاله سیب زمینی (*Solonum taberosum*) (۲) است.

تغییرات ساختاری پاپی‌های تاتوره در جریان تکوین کلاله در سطح میکروسکوپ نوری

پاپی‌های کلاله تاتوره با توجه به توانایی سنتز و دفع بعضی از ترکیبات شیمیایی (با ماهیت لیپیدی) در گروه یاخته‌های ترش‌های قرار می‌گیرند. سلول‌های ترش‌های نسبت به سلول‌های غیر ترش‌های از فعالیت‌های متابولیکی بالاتری برخوردار می‌باشند (۳۲، ۳۰، ۳۱، ۲۹، ۲۵، ۲۳، ۲۰ و ۲). پاپی‌های تاتوره مشابه سلول‌های پاپی کلاله گیاهان *Hypericum calycinum* (۲۸)، گیاه *Ornithogalum* (۱۶)، گیاه *Olea europaea* (۱۲) و گیاه *Tiboachina semidecandra* می‌باشد (۳). در این گونه‌های گیاهی اجسام لیپیدی ساخته شده در پاپی‌های کلاله در زیر لایه کوتیکول تجمع می‌یابند. مدل تولید ترشحات کلاله در گیاه تاتوره مشابه سایر کلاله‌های مرطوب گیاهان از جمله *Lycopersicum pervianum* (۲۱)، گیاه *Tiboachina semidecandra* (۳)، گیاه اطلسی (۲۰)، گیاه *Olea europaea* (۱۲)، گیاه *Lycopersico esculentum* (۴) و گیاه توتون (۸) است. در تمام این گونه‌ها، ترکیبات ترش‌های ساخته شده در سلول‌های ترش‌های، در بین دیواره‌های سلولی و فضاها بین سلولی به صورت قطراتی تجمع یافته است و با الحاق قطرات در هم دیگر یک لایه با دانستیه الکترونی بالا را در سطح کلاله‌های بالغ بوجود می‌آورند. بررسی‌های انجام شده بر روی قطرات اسمیوفیل توسط حسینی و صومعه در سال‌های ۱۳۸۴ و ۱۳۸۷ نشان دهنده ماهیت پروتوپلی فنولی این ترکیبات است (۲۲). ترکیبات فنولیکی و اکوئل‌ها ترکیباتی هستند که پدیده اتوفلوئورسانس را به صورت رایج در سلول‌های گیاهی نشان می‌دهند.

تبدیل به پاپی (کرک‌های کوچک) می‌گردند. در مراحل اولیه تکوینی، پاپی‌ها اگرچه از لحاظ شکل و اندازه متفاوت از یکدیگر بوده ولی با داشتن برخی ویژگی‌ها از جمله اندازه نسبتاً بزرگ سلول، سیتوپلاسم متراکم و هسته درشت قابل تشخیص می‌باشند. فعالیت ترش‌های پاپی‌ها و دیگر یاخته‌های ترش‌های کلاله، خیلی زود اتفاق می‌افتد. تجمع بین سلولی ترشحات، در سلول‌های ترش‌های و جریان آن‌ها به سطح کلاله باعث جدا شدن بسیاری از پاپی‌ها و یاخته‌های ترش‌های در مراحل رشد، نمو و بلوغ کلاله از سطح آن می‌شود، که مشابه یافته‌های Mackenzie و همکارانش بر روی گیاه سیب زمینی است (۲). سلول‌های کنده شده از سطح کلاله تاتوره به صورت غوطه ور در ترشحات ژله مانند کلاله‌ای قرار می‌گیرد. جدا شدن پاپی‌ها از سطح کلاله تاتوره در مراحل اولیه رشد و نمو باعث طبقه بندی کلاله این گیاه در گروه کلاله‌های مرطوب بدون پاپی شده است. بررسی‌های انجام شده در سطح میکروسکوپ نوری نشان داده است که این نوع کلاله می‌تواند در گروه سوم (کلاله‌های مرطوب پاپی دار) از طبقه بندی Harrison-Heslop و Shivanna قرار گیرد (۲۸، ۲۲ و ۱۷). در مرحله بلوغ و گرده افشانی حجم ترشحات به حدی است که تمام سطح کلاله را پوشش می‌دهد. انبوه ترشحات سطحی کلاله موجب غوطه ور شدن دانه‌های گرده پس از گرده افشانی و رویش دانه‌های گرده و نفوذ لوله‌های آن در بافت‌های ترش‌های و هدایت کننده کلاله می‌شود. جدا شدن سلول‌های سطحی کلاله در زمان گرده افشانی را می‌توان در گل‌های شکفته گیاه *Prunus avium* مشاهده کرد (۲۷ و ۲۳). در تاتوره سیتوپلاسم پاپی‌ها کاملاً تحلیل رفته و به نظر می‌رسد که دیواره سلول‌های پاپی عموماً استحکام خود را از دست داده و به اشکال مچاله شده در داخل ترشحات کلاله‌ای قرار بگیرد (۲۲). مراحل تشکیل کلاله گل تاتوره مشابه

وجود چندین واکوئل بزرگ با مواد الکتروالانس، کدر و از جنس تانن اشاره کرده‌اند (۷). بر روی دیواره سلول‌های پای تاتوره، لایه کوتیکول وجود دارد. وجود انبوهی از موم‌های متنوع یکی از فاکتورهایی است که به آن خاصیت نفوذ پذیری می‌دهد، یک لایه کوتیکول غنی از موم، ترکیبات محلول در چربی‌ها را از خود عبور می‌دهد. اما به عنوان سدی در مقابل ترکیبات محلول در آب عمل می‌کند (۵). این لایه در زیر میکروسکوپ فلوروسنت در طول موج‌های ۴۵۰-۴۹۰ و ۳۸۰-۴۵۰ نانومتر به صورت اتوفلوروسانس قابل مشاهده است. رنگ آمیزی این لایه با اورامین O باعث فلوروسانس شدید این لایه می‌گردد. فلوروسانس این لایه مشابه اتوفلوروسانس و فلوروسانس لایه کوتیکول پای کلاله گیاه *Metrosideros excelsa* می‌باشد (۲۹)، مشاهده فلوروسانس شدید این لایه بعد از رنگ آمیزی با اورامین O، حاکی از این واقعیت است که لایه کوتیکول پای‌های کلاله تاتوره، واجد مقادیر بسیار زیادی از موم‌ها می‌باشد، بنابراین بخش مهمی از ترکیبات لیپیدی می‌توانند از لایه کوتیکول به خارج از سلول تراوش نمایند. انباشتگی ترشحات در زیر لایه کوتیکول باعث فاصله گرفتن و جدا شدن کوتیکول از دیواره و گسستگی این لایه در بعضی از نقاط، باعث هم پوشانی فلوروسانس لایه کوتیکول و ترشحات زیر کوتیکولی می‌شود. بررسی ماهیت ترشحات کلاله در سطح میکروسکوپ فلوروسنت با رنگ آمیزی اورامین O و در سطح میکروسکوپ نوری با نیل بلو سولفات، لیپیدی بودن این ترشحات را ثابت کرد. وجود ترکیبات لیپیدی در ترشحات کلاله تاتوره قبلاً توسط حسینی در سال ۱۳۸۴ به اثبات رسیده است (۲۲). وجود ترکیبات لیپیدی در ترشحات کلاله بعضی از گیاهان تیره سیب زمینی، از جمله توتون، گوجه فرنگی، اطلسی و سیب زمینی نیز گزارش شده است (۲۱، ۲۰، ۸ و ۲). ماهیت ترشحات

علاوه بر این ماده لیکنین در دیواره‌های آوندهای چوبی، کلروپلاست‌ها، دانه‌های نشاسته در سلول‌های گیاهی خاصیت اتوفلوروسانس دارند (۳۳، ۸ و ۴). بررسی سلول‌های پای در این مرحله در زیر میکروسکوپ فلوروسنت در طول موج‌های ۴۹۰ - ۴۵۰ نانومتر نشان دهنده اتوفلوروسانس این قطرات به رنگ صورتی - قهوه‌ای است. اتوفلوروسانس ترکیبات فولیک به رنگ قرمز - قهوه‌ای را در ترکیبات ترشچی و در سلول‌های غدد پرچم گیاه *Thyptomene calycina* تحت تاثیر همان طول موج می‌توان مشاهده کرد (۳۲). رنگ آمیزی پای‌ها در نمونه‌های تازه با اورامین O در همان طول موج‌ها، قطراتی را به رنگ زرد طلایی در داخل سلول‌ها آشکار می‌کند. فلوروسانس این قطرات با اورامین O نشان دهنده وجود ترکیبات لیپیدی است که به دلیل مشکلات آشکارسازی لیپیدهای متصل به پروتئین، با تست‌های سیتوشیمیایی رایج در بررسی‌های قبلی شناسایی نشده است. فلوروسانس ترکیبات لیپیدی در ترشحات و در درون سلول‌های برش خورده با استفاده از رنگ آمیزی اورامین O در زیر میکروسکوپ فلوروسنت قابل مشاهده است (۶). *Ciampolini* و همکارانش در سال ۱۹۹۵ گیاه *Tiboachina semidecandra* را مورد بررسی قرار دادند (۱). در سلول‌های پای این گیاهان، انباشتگی ترکیبات به شدت اسمیوفیل در درون واکوئل از جنس تانن شناسایی شده است. Cresti و همکارانش در سال ۱۹۹۶ با بررسی پای‌های گیاه انگور (*Vitis vinifera*) به وجود یک واکوئل بزرگ مرکزی در سیتوپلاسم سلول‌ها اشاره کرده است (۵). ماهیت تاننی این اجزا با رنگ آمیزی ترکیبی آزور ۲ / متیلن بلو (Methylen blue/AzureII) به اثبات رسیده است. بررسی سلول‌های پای در گیاه *Corylus avellana* توسط *Ciampolini* و همکارانش در سال ۱۹۹۸، به

۱۸، ۱۵، ۱۱، ۱۰ و ۹). در خانواده سولاناسه، این وقایع در یک محیط انباشته از ترکیبات لیپیدی که توسط ترشحات کللاه ای حاصل شده‌اند، اتفاق می‌افتد حضور این محیط برای رویش دانه گرده و رشد آن ضروری است (۲۹ و ۸).

کلاله ای در گیاهان متفاوت است، به عنوان مثال ماهیت ترشحات سطح کلاله بالغ گیاه نخل روغنی (*Oil plum*) از نوع پلی ساکاریدی می‌باشد (۱۲). لقاح در مادگی گل‌ها زمانی صورت می‌گیرد که گرده بالغ بر روی کلاله آب‌گیری کرده و لوله گرده ضمن رشد در کلاله نفوذ و در آن پیش می‌رود (۳۳، ۲۹، ۲۶،

منابع

1. Ciampolini F, Faleri C, Cresti M. (1995) Structural and cytochemical analysis of the stigma and style in *Tibouchina semidecandra*. *Annals of Botany*. 76:421-427.
2. Makenzie C J, Yoo Y B, Seabrook J E A. (1990) Stigma of *Solanum tuberosum* CV shepody: morphology, ultrastructure and secretion. *Amer. J. Bot.* 77(9):1111-1124.
3. Dulmen A V. (2001) Pollination and phenology of flowers in the canopy of two contrasting rain forest types in Amazonia, Colombia. *Plant Ecology*. 153:73-83.
4. Ciampolini F, Shivanna K R, Cresti M. (1990) The structure and cytochemistry of the pistil of *Sternbergia lutea* (Amaryllidaceae). *Annals of Botany*. 66:703-712.
5. Ciampolini F, Faleri C, Di Pietro D, Cresti M. (1996) Structural and cytochemical characteristics of the stigma and style in *Vitis vinifera* L. var. Sangiovese (vitaceae). *Annals of Botany*. 78:759-764.
6. Ciampolini F, Shivanna K R, Cresti M. (2001) Organization of the stigma and transmitting tissue of Rice, (*Oryza sativa* L.). *Plant Bio*. 3:149-155.
7. Ciampolini F, Cresti M. (1998) The structure and cytochemistry of the stigma styl complex of *Corylus avellana* L. (Corylaceae). *Annals of Botany*. 81:513-518.
8. Cresti M, Keizjer C J, Tiezzi A, Ciampolini F, Focardi S. (1986) Stigma of *Nicotiana*: ultratrutural and biochemical study. *Amer. J. Bot.* 73: 1713-1722.
9. Goring D R. (2000) The search for component of self- incompatibility signaling pathway(s) in *Brassica napus*. *Annals of Botany*. 85 (1): 171-179.
10. Hiscoek S J, McInnis S M. (2003) Sporophytic self – incompatibility in *Senecio squalidus* L. (Asteraceae) the search for S. *Journal of Experimental Botany*. 54(380):169-174.
11. Dixit R, Rizzo C, Nasrallah M, Nasrallah J. (2001) Recognizing self in the self incompatibility response. *Plant physiology*. 125:105-108.
12. Tandon R, Manohara T N, Nijalingappa B H M, Shivanna K R. (2001) Pollination and pollen – pistil interaction in *Oil palm, Elaeis guineensis*. *Annals of Botany*. 87:831-838.
13. Zinki G M, Preuss D. (2000) Dissecting *Arabidopsis* pollen – stigma interactions reveals novel mechanisms that confer mating specificity.
14. Lord E M, Russell S D. (2002) The mechanisms of pollination and fertilization in plant. *Annual Review of cell and Developmental Biology*. 18:81-105.
15. Lord E M. (2003) Adhesion and guidance in compatible pollination. *Journal of Experimental Botany*. 54:47-54.
16. Tilton V R, Horner H T. (1980) Stigma, style and opturator of *Orrithogalum caudatum* (Liliaceae) and their function in the reproductive process. *American journal of Botany*. 67: 1113-1131.
17. Heslop – Harrison J. (1979) Aspect of the structure, cytochemistry and germination of the pollen of rye (*Secale cereale* L.). *Annals of Botany*. 44:1-47.
18. Mollet J C, Park S Y, Nothnagel EA. (2000) A lily stylar pectin is necessary for pollen tube adhesion to on in vitro *Stylar matrix*. *The Plant Cell*. 12:1737-1749.
19. Dought J, Wong H Y, Dickinson H G. (2000) Cysteine – rich pollen coat protein (pcps) and their interactions with stigmatic S (Incompatibility) and S- Related proteins in *Brassica*: putative roles in SI and pollination. *Annals of Botany*. 85 (1): 161-169.

20. Konar R N, Minskens H F. (1966) The morphology and anatomy of the stigma of the *Petunia hybrida*. *Planta*. 71:356-371.
21. Cresti M, Van went J L, Pacini E, Willemse W T M.(1976) Ultrastructure of transmitting tissue of *Lycopersicum peruvianum* style: development and histochemistry. *Planta*. 132:305-312.
22. Aliasgharpour M, Hekmat shoar H, Hosseniyi M S. (2000) Stigma of *Datura stramoniu*L.(Solanaceae):Histogenesis,morphology and developmental anatomy. *J.Sci.I.R.IRAN*. 11(4): 267-276.
23. Chen Y-F,Matsubayashi Y, Shakagami Y. (2000) Peptide growth factor phytosulfokine - a Contributes to the pollen population effect. *Planta*. 211:752-755.
- 24.Corsi G, Bottega S. (1999) Glandular hairs of *Saliva officinalis*: New data on morphology, localization and histochemistry in relation to function. *Annals of Botany*. 84: 657-664.
25. Davies K L, Turner M P, Gregg A. (2003) Lipodial labellar secretions in *Maxillaria ruiz & pav*. *Ann Bot*. 91(4):439-446.
26. Gersbach P V. (2002) The essential oil secretory structures of *Prostanther ovalifolia* (Lamiaceae). *Annals of Botany*. 89:255-260.
27. Sanzol J, Rallo P, Herrero M. (2003) Asynchronous development of stigmatic receptivity in the pear (*Pyrus communis*; Rosaceae) flower. *Am.J.Bot*. 90 (1):78.
28. Shivanna K R, Ciampolini F, Cresti. (1989) The structure and cytochemistry of the pistil of *Hypericum calycinum*: The stigma. *Annals of Botany*. 63:613-620.
29. Schmidt- Art G. (2002) Structure and histochemistry of the stigma and style of *Metrosideros excelsa*. *New Zealand Journal of Botany*. 40:95-103.
30. Sage T L , Griffin S R, Pontieri V, Drobac P, Cole W W, Barrett S H. (2001) Stigmatic self – incompatibility and mating patterns in *Trillium grandiflorum* and *Trillum erectum*. 88:829-841.
31. Turner G W , Gershenzon J, Croteau B. (2000) Development of peltate glandular trichomes of peppermint. *plant physiology*. 124:665-679.
32. Beardsell D V, Williams E C, Konx R B. (1989) The structure and histochemistry of the nectary and anther secretory tissue of the flower of *Thryptomene calycina*. *Aust. J. Bot*. 37: 65-80.
33. Ska M S, Davies K L, Gregg A. (2004) Nectary structure and nectar secretion in *Maxillaria coccinea*. *Ann. Bot*. 93:37-95.

Abstract

Datura stramonium L., of the family Solanaceae, is a toxic and medical annual that grows as a wasteland weed in Iran. Its flowers are white with a pentamerous trumpet shaped corolla, five stamen and two fused carpels. The stigma is of the wet and papillate type. In the present study, the ontogenetic and structural aspects of papillae were investigated using light microscopy. The papillae were unicellular and originated from the epidermis at the apex of very young style (within buds ≤ 10 mm in length). In the course of development, they progressively covered the stigma, then lysed and detached from its surface. This was an early - began in ≥ 15 mm long buds - and continuous process and caused almost lack of the papillae in pollinated opened flowers. Papillae as well as underlying stigmatic cells showed secretory activity during their development. Secretion began very early in 20-25 mm long buds. These structures represented stigmatic secretion material. Electron density of secretory components after post-fixation with Auramine O revealed their lipid nature. With further development a large number of lipid droplets were observed just below the cuticle. In the mature stigma (in 40-60 mm long buds) droplets increased in number, coalesced and formed large lipid bodies under the cuticle and on the stigma surface. This procedure caused the cuticle to rupture and become distanced from the cell wall. It seemed that lipid exudates passed through the ruptures and reached the stigma surface. Otherwise, the existence of these ruptures may facilitate the passage of the lipid material that occurs through the thin cuticle.

Key words: development papi, *Datura stramonium*, ultra microtom, lipid droplets

